

# 根固め方塊の安定性に関する実験的研究

北海道開発局開発土木研究所 正会員 水野 雄三  
 同 上 谷野 賢二  
 同 上 井元 忠博  
 下関調査設計事務所 正会員 牛嶋龍一郎

## まえがき

混成堤の安定性を確保するためには、直立部を支える捨石マウンドが波によって散乱しないよう保護する必要がある。このため、基礎マウンドは、通常、コンクリート製の、被覆ブロックや根固め方塊で覆われている。被覆ブロックの所要重量については、多くの実験研究によりその算定法が提案され、実用に供されているが、基本的にはHudson<sup>1)</sup>が斜面被覆材に対して導いた周知の式にBrebner・Donnelly<sup>2)</sup>が碎石で形成した基礎マウンド及び根固マウンドに対する安定実験結果を一致させた式を用いて重量算定を行っている。

しかし、根固め方塊の安定重量に関する実験<sup>3), 4), 5)</sup>は、個々の断面に関するものが大半で、系統的な実験によって方塊の重量算定法を求めようとしたものは少なく重量の決定も過去の経験や実績に基づいて行われている。本研究は、根固め方塊の安定性について模型実験を行うとともに、過去の被災例も参考にして、現在、経験的に行われている根固め方塊の重量算定法について検討を加え、より合理的な方法の確立を目的とするものである。

## 1. 断面実験の概要

実験に用いた水路は、図-1に示す幅0.8m深さ1m長さ28m両面がガラス張りのもので、ベンデュラム型造波機を設置してある。断面水路実験においては、根固め方塊の安定性に影響する条件として、防波堤の設置条件（水深h、方塊天端水深d、マウンド肩幅B、マウンド厚r）、波の諸元（波高H、周期T、波長L）及び方塊自体の大きさ（幅b、長さl、厚さt）、比重などが考えられる。今回は、これらの諸条件について表-1、2に示すような範囲を設けて各々の条件を適宜組み合わせて実験を行った。実験縮尺は、1/50で、フルードの相似則を適用した。実験堤体を、図-2に示す。マウンドは径1cm～1.5cm程の碎石で形成し、堤体は長さ80cm高さ80cm幅50cmの木製の箱で滑動や転倒が生じないよう水路に固定されている。マウンドの法勾配は実際と同じ1:3とし天端は被覆ブロック及び根固め方塊とも2個並びを標準とし、約5mm間隔で、平らになるように置いた。被覆ブロックには、8t型ブロックの1/50模型を用いている。実験波は、周期が1.2～2.2秒の4種類で、波高を1cmずつ上げていって各波高約20秒間起波し、その際の方塊の動きを目視観察し記録した。波高は、方塊が移動するか又は起波限界まで作用させた。

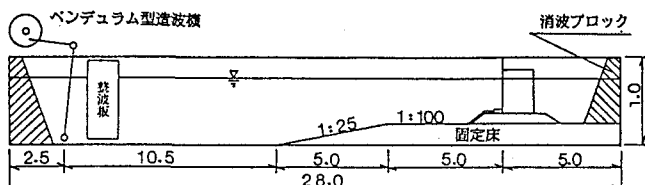


図-1 実験水路 (単位: m)

表-1 実験条件

項目	記号	実験範囲
前面水深	h	12, 16, 20, 26, 32, 40
マウンド厚	r	4, 6, 8
マウンド肩幅	B	10, 15, 20, 25
波高	H	4.0～20.0
周期	T	1.2, 1.4, 1.6, 2.2
$d/h$		0.3～0.8

表-2 根固め方塊の諸元

No	l cm	b cm	t cm	Wg
1	10.0 × 5.0 × 1.6			185
2	10.0 × 5.0 × 2.4			275
3	10.0 × 5.0 × 3.2			370
4	8.0 × 4.0 × 1.6			120
5	8.0 × 4.0 × 2.4			175
6	5.0 × 3.0 × 1.6			55
7	5.0 × 3.0 × 2.0			69

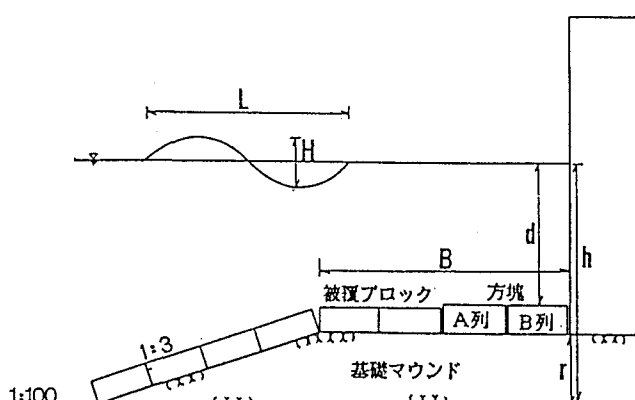


図-2 実験堤体

## 2. 平面実験の概要

実験に用いた施設の概要を図-3に示す。水槽は幅15.4m長さ20.3m 深さ1mのもので、フラップ型造波機を設置してある。水槽には、1/50の勾配で斜面を設けており端部は1/4勾配で碎石を置き反射波を低減させた。

実験に用いた防波堤の断面図及び根固め方塊の配置図を図-4に示した。堤体は、根固め方塊を観察する箇所は長さ1m幅0.32m 高さ0.8mのアクリル製とし、その内部は堤体の安定と観察を容易にする目的で水を充満させた。それ以外の堤体は木製の箱を用い、内部には碎石を充填し安定を図った。マウンドは、径1cm ~2cm 程の碎石で形成し表面は板で叩いて出来るだけ平らにした。マウンドの法勾配は1:3 とし、天端幅は根固め方塊2個並び、被覆ブロック2個並びを標準とした。被覆ブロックは、8 t型ブロックの1/50模型を用いている。根固め方塊は、堤体及び方塊間を5mm 程度開けて設置した。

実験条件を表-3、4に示す。実験縮尺は、1/50で、フルードの相似則を適用した。なお、水深は水路床に勾配があるため場所によって変化するので防波堤の沖側角部を基準とした。根固め方塊は、表-4に示したものと適宜選択して用いた。実験波高は初期値を4cm ~5cm とし、その後波高を1cm ずつ上げていったが根固め方塊の動きが大きく変化した時は波高を0.5cm 下げて実験を行った。波高は、根固め方塊が飛散するか又は造波限界まで高くなった。波の作用時間は各周期とも約20秒間であり、測定有効波数内での方塊の動きを目視観察して移動状況を記録した。また、波を作らせた後根固め方塊が移動していた場合には、元の位置に戻した後、波高を上げて実験を続けた。

表-3 実験条件

項目	記号	実験範囲	項目	記号	実験範囲	
防波堤	長さ 幅 高さ	LB BB HB	400cm 32cm 80cm	基礎 マウンド	厚さ d	4, 6, 8, 10cm 6.0cm ~18.4cm
水深	h	16, 20, 26cm	天端深	r	4, 6, 8, 10cm	
周波数	T	1.2, 1.6, 2.0s	肩幅	Bm	22cm	
波高	H	4cm ~16cm	のり勾配	im	1/3	
入射角	P	0, 30, 60, 90	d/h		0.38 ~0.72	
床勾配	i	1/50				

## 3. 実験結果の概要

### 3. 1 断面実験の結果

断面実験での方塊の動きは、前後に動く場合と上下に動く場合があることがわかった。また、水深と方塊の動きの関係については概ね3つのパターンに大別できる。①d/h が0.4 より小さい場合は、A列から前後運動が始まり、波高が大きくなるに伴いB列も前後に動き出す。さらに波高が大きくなると、A列は前後運動が卓越するがB列では前後運動と上下運動が同じ程度となる。②d/h が0.4 以上0.6 以下の場合は、A列は前後運動で始まるが、波高が少しだ大きくなるとB列は上下運動から始まる。さらに波高が大きくなるとA, B列とも上下運動が卓越する。③d/h が0.6 より大きい場合は、A, B列とも上下運動で始まり、波高が大きくなても上下運動が卓越する。

これらの現象から、A列の方塊には波が直接作用しているのに対し、B列の方塊は波による方塊周辺の圧力変動の影響を受けて運動することを示していると考えられる。従って、根固め方塊を設置する際に方塊が突出しないように前面を異形ブロックや割り石で被覆することは方塊の安定上からも必要なことと考えられる。

### 3. 2 平面実験の結果

平面実験での根固め方塊の動きを観察した結果、方塊は水平方向では前後・左右・回転といった動き、上下方向ではブロックの片側又は全体が浮き上がるといった動きをすることが分かった。また、前後・左右の動きは主に波の押し引きで起こり、回転は主に堤体角部付近に生じる渦によって起こる。また、浮き上がりは堤体角部付

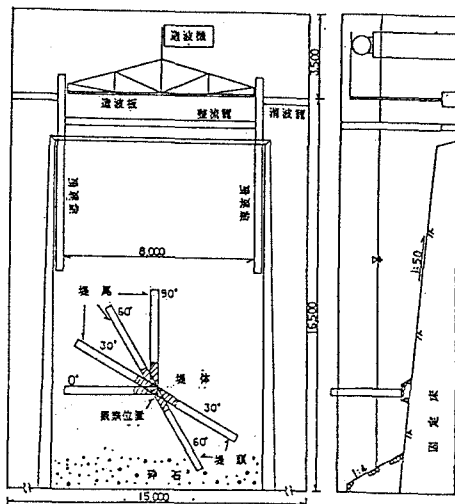


図-3 実験水槽（平面・縦断図）

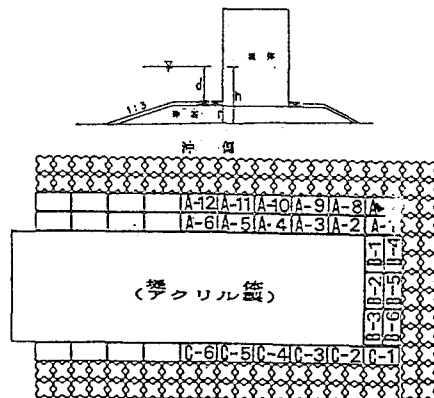


図-4 堤体断面及び根固め方塊配置図

表-4 根固め方塊の諸元

No.	l cm	b cm	t cm	Wg
1	10.0 × 5.0	× 1.6		185
2	8.0 × 4.0	× 1.6		120
3	10.0 × 5.0	× 2.0		230
4	10.0 × 5.0	× 2.4		275
5	10.0 × 5.0	× 2.8		320
6	10.0 × 5.0	× 3.2		370

近に生じる渦または碎波状の押し波によって発生することが分かった。

これらの動きの中で二次元水路による実験結果と異なる点は、実験が三次元であるために堤体に沿った水平移動が大きくなつたことと、角部の渦により揚圧力が発生しこれによつて方塊が不安定になつたことである。

また、断面実験では波の周期の長短で方塊の動きで大きな差は見られなかつたが、平面実験では周期が長くなると堤体角部付近に発生する渦の勢いが強くなり、方塊の位置によつては波の周期が長い時に危険となる場合もあつた。また、断面実験結果と比較するため堤幹部における根固め方塊の安定実験も数ケース行つた。その実験ケースを表-5に、堤体観察位置を図-5に示す。入射角0°の場合は、方塊の動きは断面実験とほぼ同様のものであり、入射角30°の場合はそれに加えて堤尾方向への動きが見られた。しかし、同じ入射角で堤頭部における実験結果と比較すると方塊の動きはかなり小さくなつておらず、堤頭部の方塊を大きなものにする必要があることが確認された。

表-5 実験条件

項目	記号	実験範囲	項目	記号	実験範囲
防波堤 高さ	L <sub>B</sub>	500cm	基盤 マウンド 天端深 肩幅	r	8cm
	B <sub>B</sub>	32cm		d	5.6cm~16.4cm
	H <sub>B</sub>	80cm		B <sub>m</sub>	22cm
波 周期 波高 入射角	h	10, 20, 20 cm	法勾配 d/h	i <sub>m</sub>	1/3
	T	1.2, 1.6, 2.0s			
	H	4cm ~ 10cm			0.35 ~ 0.83
入射角 $\beta$					
		0°, 30°			

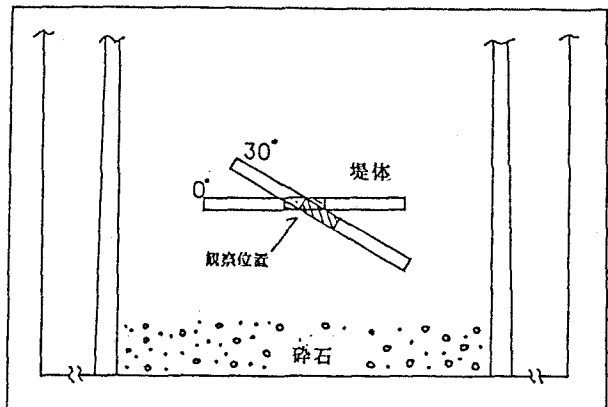


図-5 堤幹部における安定実験

#### 4. 考察

##### 4. 1 根固め方塊の安定に影響する要因

根固め方塊の安定性に影響を与えると考えられる要因（マウンド水深d，設置水深h，波長L，マウンド肩幅B）について、その影響度合いを調べるために、断面実験で方塊が動き始める時の波高Hと各要因との関係を検討した。その結果、d, hが方塊の安定に大きな影響を与えていたことがわかつた。被覆材の安定については、B, Lが影響していることが言われており、これはマウンド形状から見てマウンド法肩付近の被覆材の安定性が劣つておらず、マウンド法肩が水粒子速度が大きい重複波の節近くになる程危険となる為であり、直立部と接している根固め方塊の場合には、B, Lはあまり影響しない結果となつたのであろう。このことから、今回の実験結果の整理は、d, hを中心に行うこととする。

##### 4. 2 根固め方塊の安定に影響する無次元量

港湾構造物に用いるブロック類の安定重量を求める図表では、利用上の観点から縦軸に安定指標、横軸にパラメータとなる無次元量を取りることが多い。前述の4. 1で方塊の安定に影響する要因をd, hとしたが、これらを用いた無次元量のうち、今後実験結果を整理していく上で、どの無次元量をパラメータとして用いるかについて検討した。

d, hを用いた無次元量としては、d/h, d/L, h/L, d/H, h/Hなどが考えられる。d/hについてはBrebner・Donnelly, 鴻上・成田、鹿島・斎藤らの実験によると方塊の安定に強く影響すると言う結論が得られている。d/L, h/Lについては既往の研究でもその評価に違いが出ている。d/Hについては、稻垣・片山がその有効性について示している。これらのことから、無次元量パラメータとしてはd/h, d/Hが有効と考えられるが、縦軸に波高を含んだ安定指標を用いることを考えると、横軸に波高を含んだパラメータを取った場合、縦軸と横軸の独立性が失われることとなる。従って、ここではここまで実績も踏まえてd/hを用いることとした。

##### 4. 3 本研究で用いた安定指標について

根固め方塊の安定重量は、Brebner・Donnellyが導入した式により安定数N<sub>s</sub>を用いて重量が算定できる。ただし、こうした結果となるのは形状が概ね相似している割り石や、寸法比を一定にしてある既成の異形ブロックでは安定数N<sub>s</sub>を用いて重量等が算定出来るが、厚さのみの変化の割合が大きく相似形ではないことが多い根固め方塊では安定数N<sub>s</sub>を用いても正確な重量算定が出来ない事になる。

従つて、根固め方塊の安定指標として考えられるのは、根固め方塊の縦(l)・横(b)・厚さ(t)の比率が大きくは変化しないことを前提として、W/H<sup>3</sup>または1bt/H<sup>3</sup>, bt/H<sup>2</sup>, t/Hの3つとなる。この3つの指標と無次

元量  $d/h$  との関係を、断面実験において方塊が移動を始める時の波高  $H$  を用いて整理した結果、 $W/H^3$  と  $d/h$  の関係については、方塊の寸法が大きいものほど  $W/H^3$  の値が大きくなっている。無次元指標としては適さないと考えられる。 $bt/H^2$  及び  $t/H$  については安定指標として用い得るが、 $bt/H^2$  は波が直角入射のときは  $b$  の値は直ぐに決まるが、斜め入射時や堤頭部などの場合、何を  $b$  の値とするのかが問題となる。安全側を取って方塊の  $t$ 、 $b$  のうち小さいものを  $b$  とする方法も考えられるが、ここでは非常に単純化した指標として  $t/H$  を採用することとし、適否については実際の被災例を基に検討することにした。但し、これは根固め方塊の大きさが現在用いられている範囲にあることを前提とした考え方であり、方塊の厚さのみが大きいような場合は想定していない。

#### 4.4 根固め方塊安定重量

堤幹部での根固め方塊の安定重量を調べるために、平面実験と断面実験の結果を用いて検討を行った。平面実験で方塊の安定基準とした移動量は、表一6に示すとおりで、ここではD状態となった時に方塊が不安定になったと判定した。方塊安定実験では、安定基準をどこに置くかが重要な問題となるが、今回の実験が規則波を用いたものであり、不規則波を長時間作用させたものでは無いことを考慮して、少し厳しい条件を設定した。

断面実験では、表一7に示したもののが比較検討によりIV状態のときを平面実験のD状態に相当するものと判定し、安定基準とした。堤頭部での根固め方塊安定重量は、堤幹部と同じく平面実験結果を用いて表一6のD状態となった時を基準として求めた。これらの基準により求めたのが図一6である。

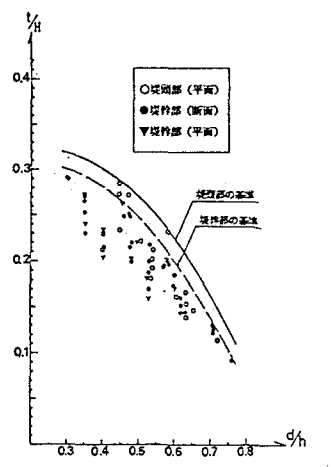


図-6 根固め方塊の安定基準

#### 4.5 被災例による検証

実験によって求めた安定重量基準が的確なものかどうかを調べるために、実際に被害を受けた防波堤の資料<sup>6), 7), 8)</sup>を基に比較検討を行った。その結果を図一7に示した。これによると、堤頭部、堤幹部とも今回求めた安定基準と被災例が良く一致しているのがわかる。また、堤頭部と堤幹部の基準線の間に堤頭部での被災例が多く集まっていることから、両者の関係もよく表現出来ていると考えられる。

#### 5.まとめ

今回の実験でわかったことは、次のような事である。

- 1) 根固め方塊の波による動きは、A列は前後方向が、B列は上下方向が卓越している。

表-6 根固め方塊の移動状況の定義（平面実験）

状態	模型移動量	現地換算量	球形と仮定した時の基礎粒石の直径 ( $r=2.6$ )					
			30kg	60kg	100kg	150kg	200kg	300kg
A	0mm	0cm	○ ○ ○ ○ ○ ○					
B	0~1mm	0~5cm	○ ○ ○ ○ ○ ○					
C	2~5mm	10~25cm	○ ○ ○ ○ ○ ○					
D	6~10mm	30~50cm	×	△ △ △ △ ○ ○				
E	11~15mm	55~75cm	×	×	×	×	×	△

注) ○印は、方塊が各状態の範囲で移動しても粒石の直径を超えない場合。  
 △印は、" " すると " " 超える時がある場合。  
 ×印は、" " すると " " 超える場合。

表-7 根固め方塊の移動状況の定義（断面実験）

状態	根固め方塊の動き
I	全く動かない。
II	微小な動きをする。
III	一定方向に移動する。ブロックの四辺が浮上する。 ブロックの片側が底面の1/4以上浮上する。
IV	ブロックの前後動が非常に大きくなり。 堤体に当たってはね返るようになる。 ブロックの四辺が底面の1/4以上浮上する。 ブロックの片側が底面の1/3以上浮上する。
V	ブロックの四辺が底面の1/3以上浮上する。 ブロックの片側が底面の1/2以上浮上する。
VI	ブロックが完全に移動する。

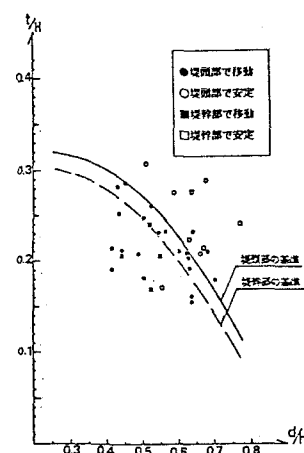


図-7 被災例による安定基準の検討

- 2) 根固め方塊の安定性は、基礎マウンドの肩幅にはほとんど影響されない。
- 3) 根固め方塊の波の作用による動きは  $d/h$  によって左右され、 $d/h$  が小さい時は堤体前面の方塊の動きが大きく、 $d/h$  が大きい時は堤体端部の方塊の動きが大きくなる。
- 4) 堤体端部の方塊は、堤体角部付近に発生する渦によって移動することが多い。
- 5) 堤体角部に発生する渦は、マウンド水深が大きく、波高が高く、周期が長いほど規模が大きくなる。この渦は押し波時、引き波時とも生じるが、引き波時に岸側角部に生じる渦の規模が大きい。また、堤尾部では渦の発生は見られない。
- 6) 根固め方塊の安定上必要な厚さは、方塊の厚さ  $t$  と波高  $H$  を用いた無次元量  $t/H$  と  $d/h$  を用いた図-8 によって推定出来る。

#### あとがき

根固め方塊に限らず、ブロック類の安定実験ではブロックの移動量をいかに正確に計測するか、安定限界をどのように定めるかが重要な要素となる。今回の実験では、断面の場合は両面ガラス張りの水槽を用いたので方塊の動きをかなり詳しく観察できたが、平面の場合はその観察精度はやや落ちるものと考えられる。しかし、本報文で設定した安定限界による方塊の所要重量と港湾技研資料による被災例とが良く一致していることから、今回の実験結果は信頼できるものと考えているので、今後、この研究結果を実際の設計に反映させていただくことを期待している。

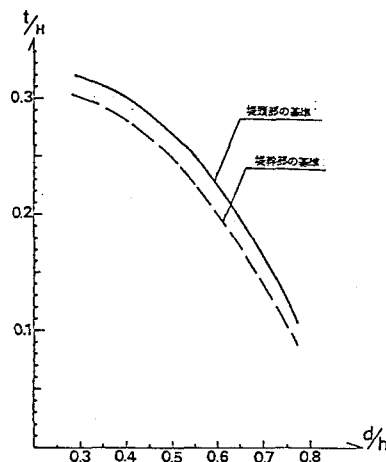


図-8 根固め方塊の安定基準

#### 参考文献

- 1) Hudson,R; Laboratory investigation of rubble mound breakwaters, Journal of the Waterways and harbors Division, Proc. ASCE, September, 1959, pp.93~121
- 2) Brebner,A. and D.Donnelly ; Laboratory study of rubble foundation for vertical breakwater, Proc. 8th Coastal Engg. Conf., New Mexico City, 1962, pp.408 ~429
- 3) 高松泰文；防波堤改良模型実験－根固め方塊の安定について（その2），調設広報新潟No.5，第1港湾建設局，1983,pp.93~96
- 4) 国栖広志・洞谷邦弘・清水虎重；混成式防波堤部根固め方塊ブロックの安定性に関する研究，第33回海岸工学講演会論文集，pp.437~441
- 5) 谷本勝利；防波堤の設計法に関する水工的諸問題，昭和58年度港湾技研講演会講演集，pp.1~26
- 6) 設計基準部設計基準課；被災防波堤集録，港湾技研資料，No.58,19 68,pp.239
- 7) 設計基準部設計基準課；被災防波堤集録（その2），港湾技研資料No.200,975, pp.255
- 8) 服部千佳志・柴田鉄三・大堀晃一；被災防波堤集録（その3），港湾技研資料No.485,1984,pp.281